



# Reporte Semanal de Clima Espacial

<https://www.sciesmex.unam.mx/blog/category/reporte-semanal-de-clima-espacial/>



## CONDICIONES DEL SOL

**Regiones Activas (RA):** 4 (3534, 3536, 3537 y 3538).

**Hoyos coronales:** 1 hoyo coronal en latitud media.

**Fulguraciones solares:** 1 clase X5 y 3 clases M4, M1 y M3.

**Eyecciones de masa coronal:** 62 eyecciones de masa coronal (EMCs), 6 de ellas tipo halo.

**Estallidos de radio solares:** La REC-Mx detectó 7 estallidos de radio Tipo III y uno Tipo V.

## CONDICIONES DEL MEDIO INTERPLANETARIO

Se registró 1 región de interacción.

## CONDICIONES DE MAGNETÓSFERA

Índice K global máximo = 4, índice K regional máximo = 5.

Índice Dst global sin perturbación significativa, índice Dst regional con perturbación moderada.

## CONDICIONES DE LA IONOSFERA

Aumento en el contenido total de electrones (TEC).

## CONDICIONES DE RAYOS CÓSMICOS SOBRE MÉXICO

Terminó un decrecimiento Forbush (dF) y se presentó un nuevo dF.

# Reporte semanal: Pronóstico del 5 al 11 de enero 2024

**LANCÉ**

Servicio Clima Espacial

## PRONÓSTICOS

### **Viento solar:**

- Arribo de corrientes de viento solar con velocidades de 300 a 400 km/s.

### **Fulguraciones solares:**

- Es posible la ocurrencia de fulguraciones clase M.

### **Tormentas ionosféricas:**

- No se esperan perturbaciones ionosféricas significativas en los próximos días.

### **Tormentas geomagnéticas:**

- No se esperan perturbaciones geomagnéticas intensas en los próximos días.

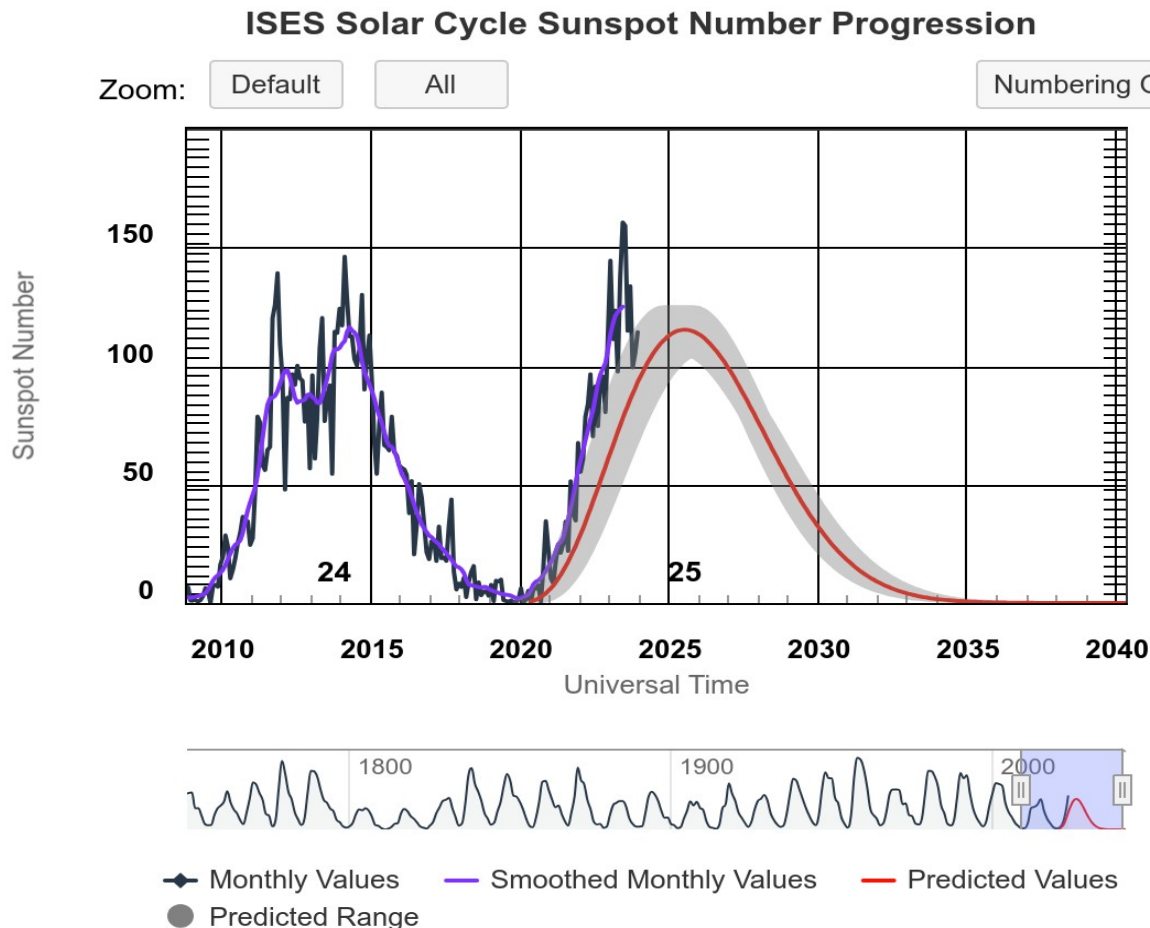
### **Tormentas de radiación solar:**

- No se esperan tormentas significativas en la próxima semana.

### **Eventos de partículas energéticas:**

- No se espera eventos de partículas energéticas.

# Ciclo de manchas solares y la actividad solar



Space Weather Prediction Center

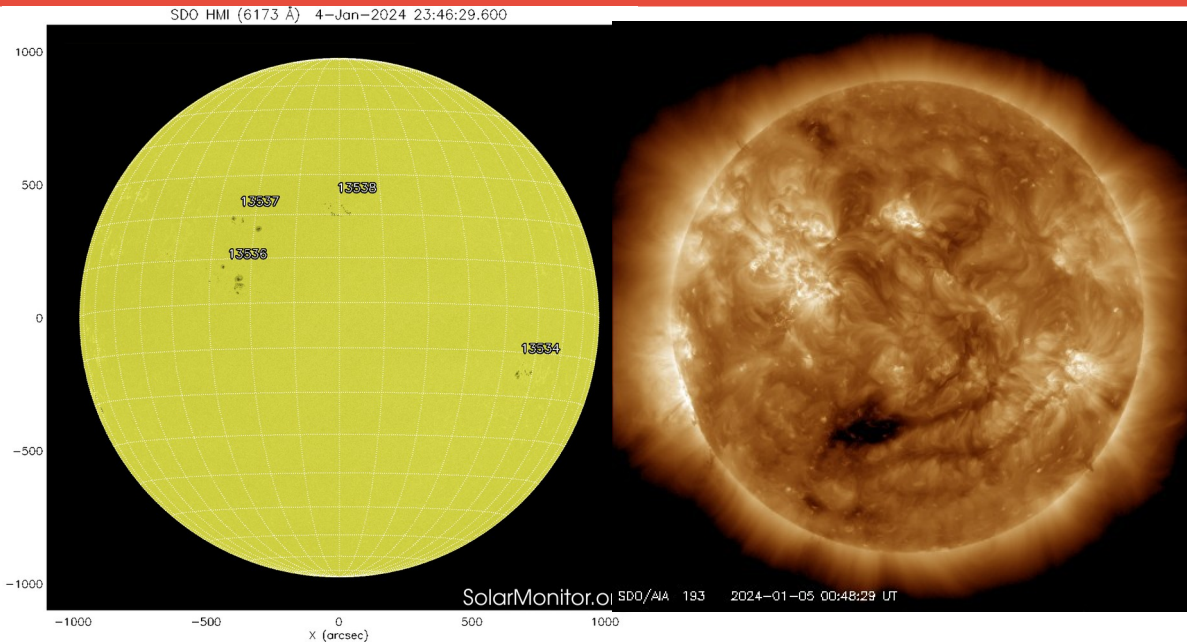
La figura muestra el conteo del número de manchas solares desde 2010, cubriendo la mayor parte del Ciclo Solar 24 y la predicción de cómo se espera el ciclo 25.

Entre más manchas solares presente el Sol, es mayor la posibilidad de que ocurra una tormenta solar.

Estamos en la fase ascendente del nuevo Ciclo Solar 25.

<https://www.swpc.noaa.gov/products/solar-cycle-progression>

# Atmósfera solar y las capas solares



Se muestran 4 regiones de manchas solares (3534, 3536, 3537 y 3538) en la fotosfera. En la imagen de la corona, se observan zonas brillantes que corresponden a las regiones activas y están asociadas con las manchas solares.

<https://solarmonitor.org/index.php>  
<https://sdo.gsfc.nasa.gov/>

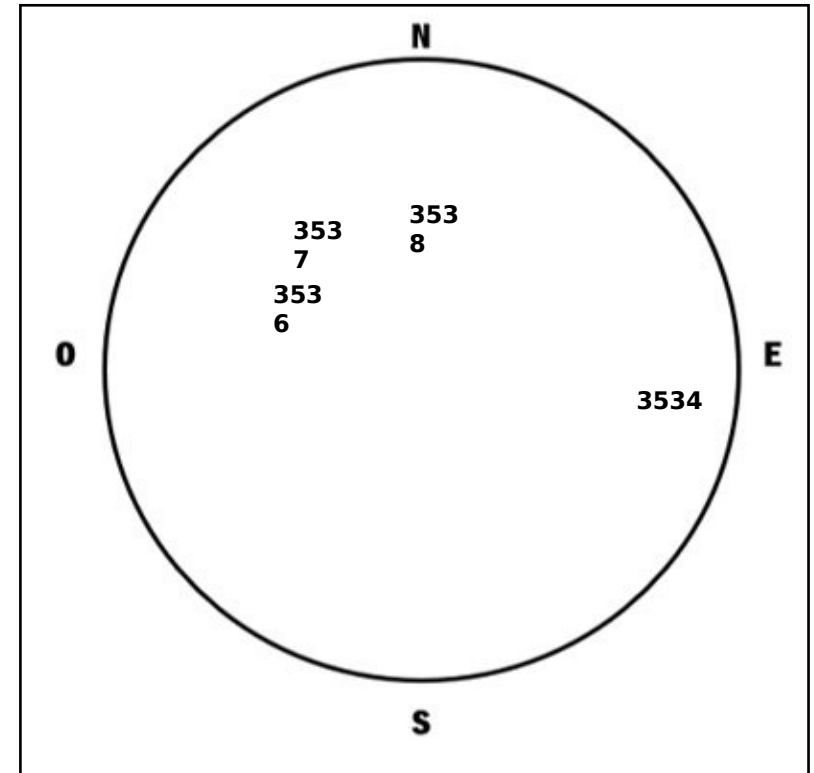
El Sol al inicio del 5 de enero visto en dos longitudes de onda, se muestra la fotosfera y la corona.

A la izquierda: La fotosfera es la zona “superficial” del Sol, donde aparecen las manchas solares. Son regiones oscuras formadas por material más frío que sus alrededores y que contienen intensos campos magnéticos. Las manchas solares están relacionadas con la actividad solar. A la derecha: La corona solar en rayos X (193 Å). La emisión de Fe XII es la corona a  $10^6$  K y también hay emisión Fe XXIV (regiones brillantes) de  $2 \times 10^7$  K. Los hoyos coronales (regiones oscuras) son regiones de campo magnético abierto. Éstas son fuente de las corrientes de viento solar rápido.

Fecha	Grupos	Focos	Wolf
29/12/23	06	43	103
30/12/23	06	33	93
31/12/23	06	24	84
01/01/24	06	39	99
02/01/24	07	44	114
03/01/24	08	51	131
04/01/24	10	77	177

Número de Wolf máximo esta semana: **117**

Durante esta semana se pudieron observar cuatro regiones activas en la superficie del Sol. Estas fueron la 3534, 3536, 3537 y 3538 con coordenadas S14W49, N06E25, N18E22 y N21W01 respectivamente.



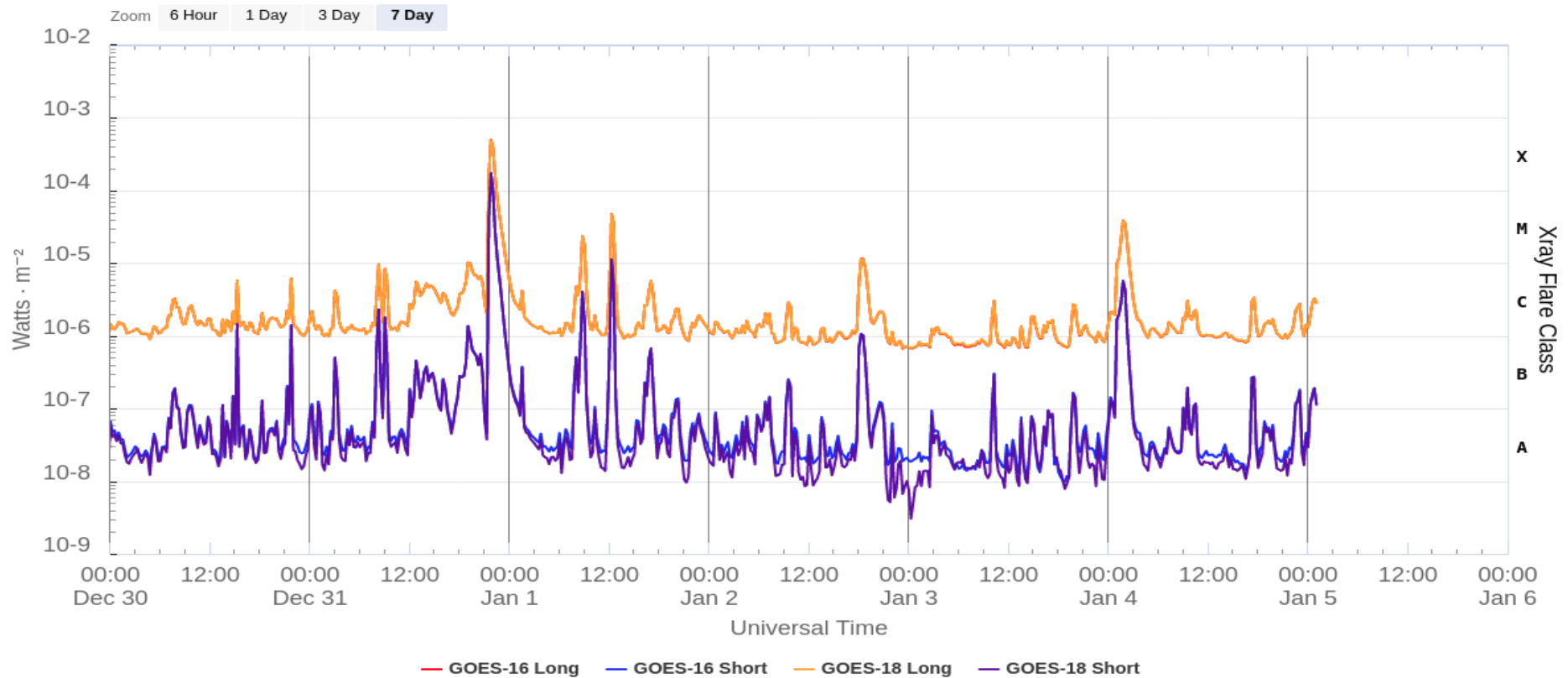
Coordenadas del lugar:

Lat: 19°30'27.8" Lon: 99°07'54.0"

ESIA Unidad Ticomán

# Actividad solar: Fulguraciones solares

GOES X-Ray Flux (1-minute data)



Updated 2024-01-05 01:05 UTC

Space Weather Prediction Center

Flujo de rayos X solares detectado por los satélites GOES de la NOAA. Se detectaron fulguraciones clase M4, M1 y M3 los días 1, 2 y 4 de enero, y la más intensa de este ciclo, una X5 el día 31 de diciembre a las 21:55 tiempo universal.

<https://www.swpc.noaa.gov/products/goes-x-ray-flux>



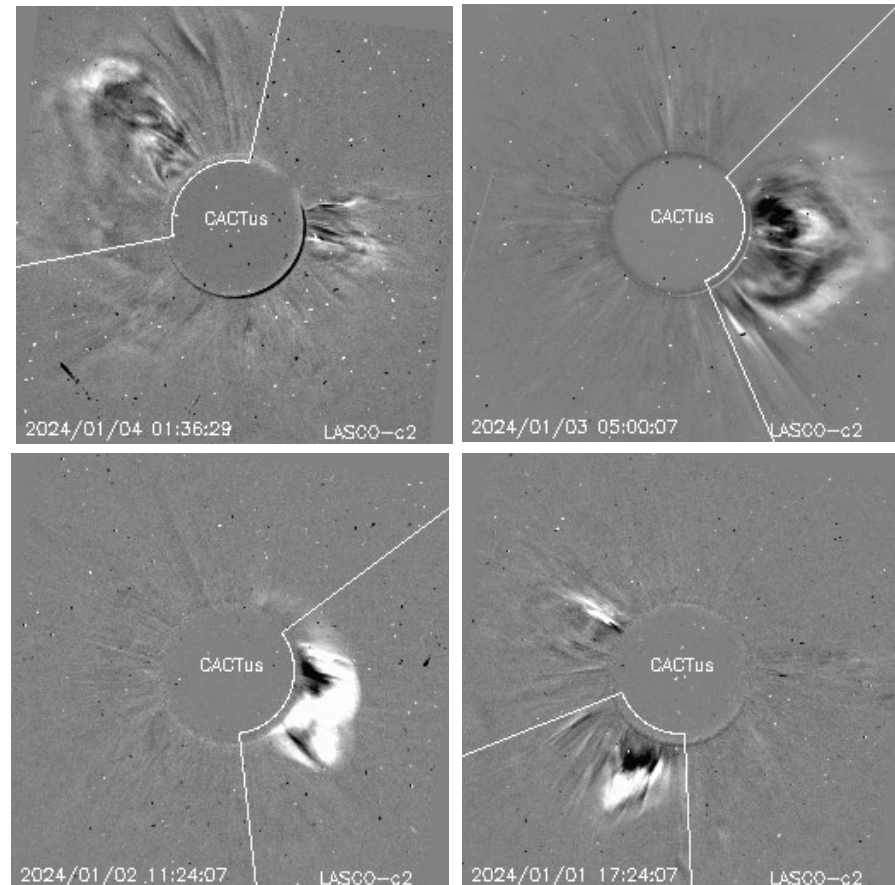
# Actividad solar: Eyecciones de Masa Coronal

Se registraron 62 EMCs.  
6 tipo halo (ancho > 90°)

Mediciones de salida de EMC de mayor  
dimensión y velocidad de esta semana:

Fecha, tiempo inicial, velocidad promedio (km/s)

2024/01/04	00:00	398
2024/01/03	02:48	361
2024/01/02	11:12	578
2024/01/01	16:36	349



- Eyecciones observadas por SOHO/LASCO con cálculos del sitio CACTUS.

Crédito, imágenes y valores estimados:  
SOHO, the SOLAR & Heliospheric Observatory  
<https://www.bis.sidc.be/cactus/>



# Medio interplanetario

## Centelleo interplanetario

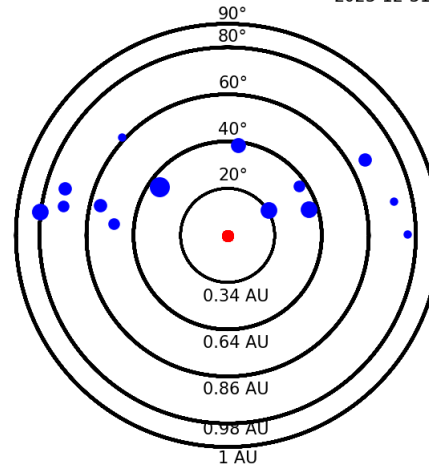
### Magnitud de velocidades de viento solar registradas por MEXART.

Se muestra con círculos azules la posición aparente de fuentes de centelleo vistas desde la Tierra, su dimensión representa la rapidez del viento solar. Al centro el Sol (círculo rojo). Los círculos concéntricos marcan la elongación o distancia heliocéntrica, en grados o unidades astronómicas, al Sol.

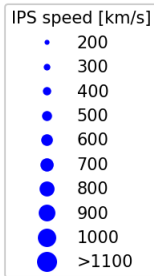
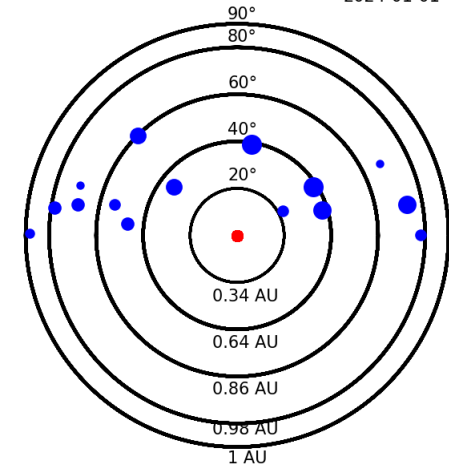
Mapas correspondientes a los últimos días con velocidades que en su mayoría van de 400 a 700 km/s.

Los velocidad calculada hasta ahora es experimental.

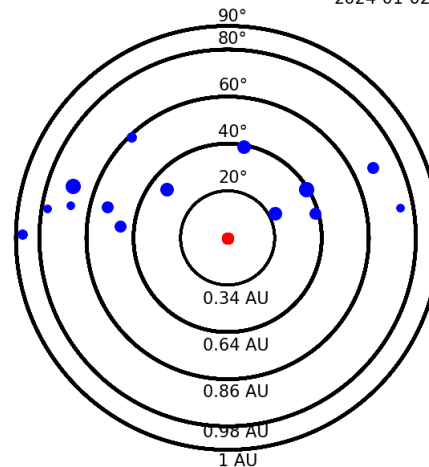
Apparent position of sources in the sky  
2023-12-31



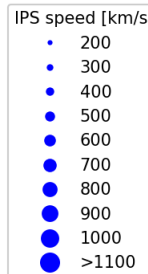
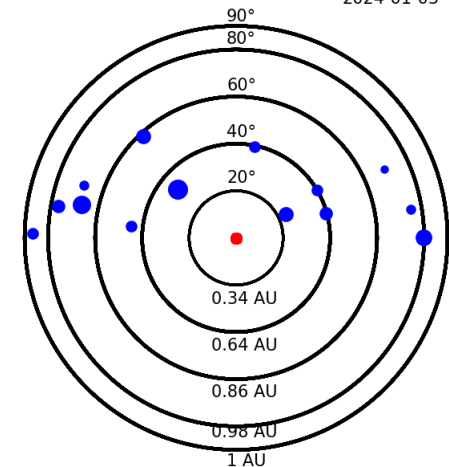
Apparent position of sources in the sky  
2024-01-01



2024-01-02



2024-01-03



# Medio interplanetario: El viento solar cercano a la Tierra

## Modelo numérico WSA-ENLIL.

Al día 04 de enero de 2024, el modelo pronostica el arribo de corrientes de viento solar lento con velocidades de aproximadamente 350 km/s. No pronostica el arribo de ninguna EMC para los próximos días.

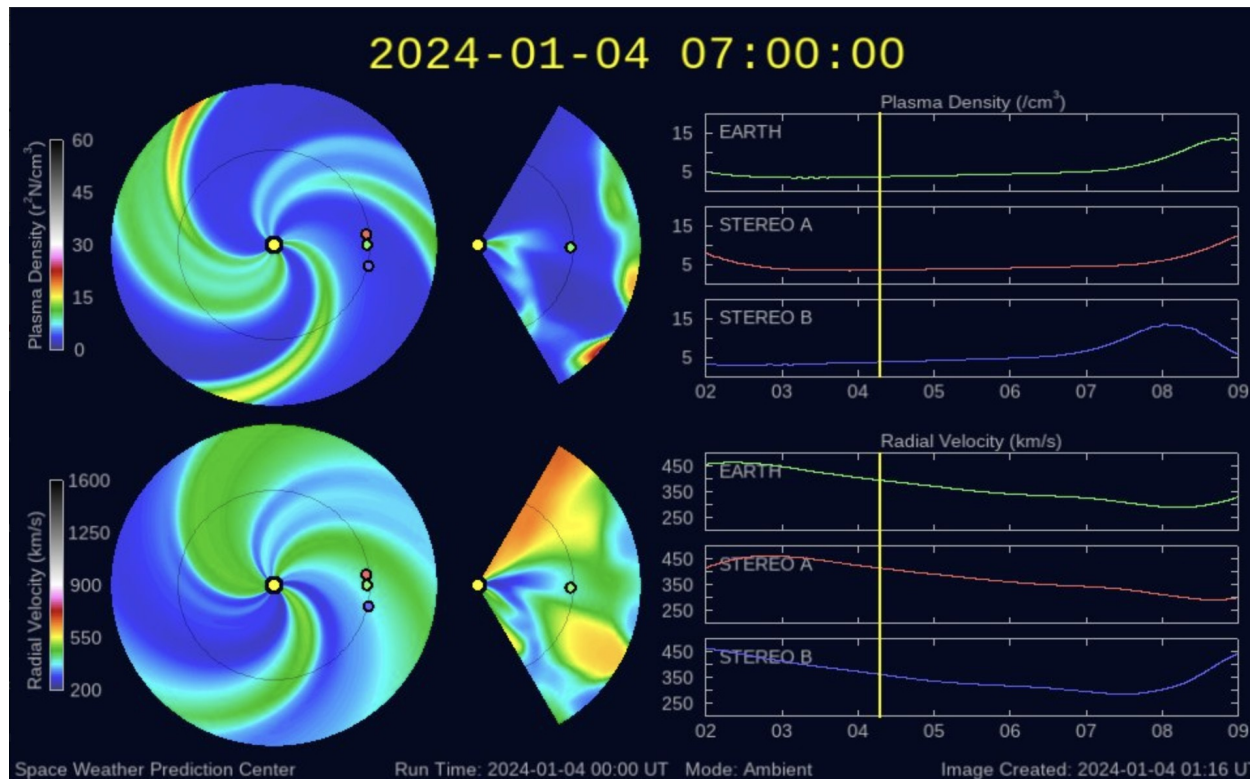


Imagen: <http://www.swpc.noaa.gov/products/wsa-enlil-solar-wind-prediction>

# Medio interplanetario: Región de interacción de viento solar

Esta semana se registró una región de interacción (ver zona sombreada en gris en imagen 2). La región fuente de tal estructura es un hoyo coronal localizado en latitudes medias-bajas (ver CH1 en imagen 1). Dicha región no generó actividad geomagnética.

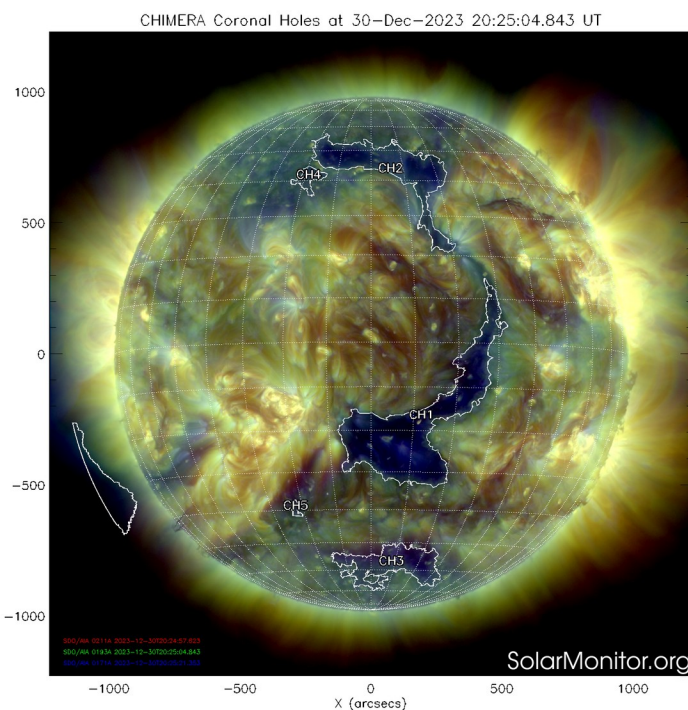


Imagen 1: <https://sdo.gsfc.nasa.gov/>

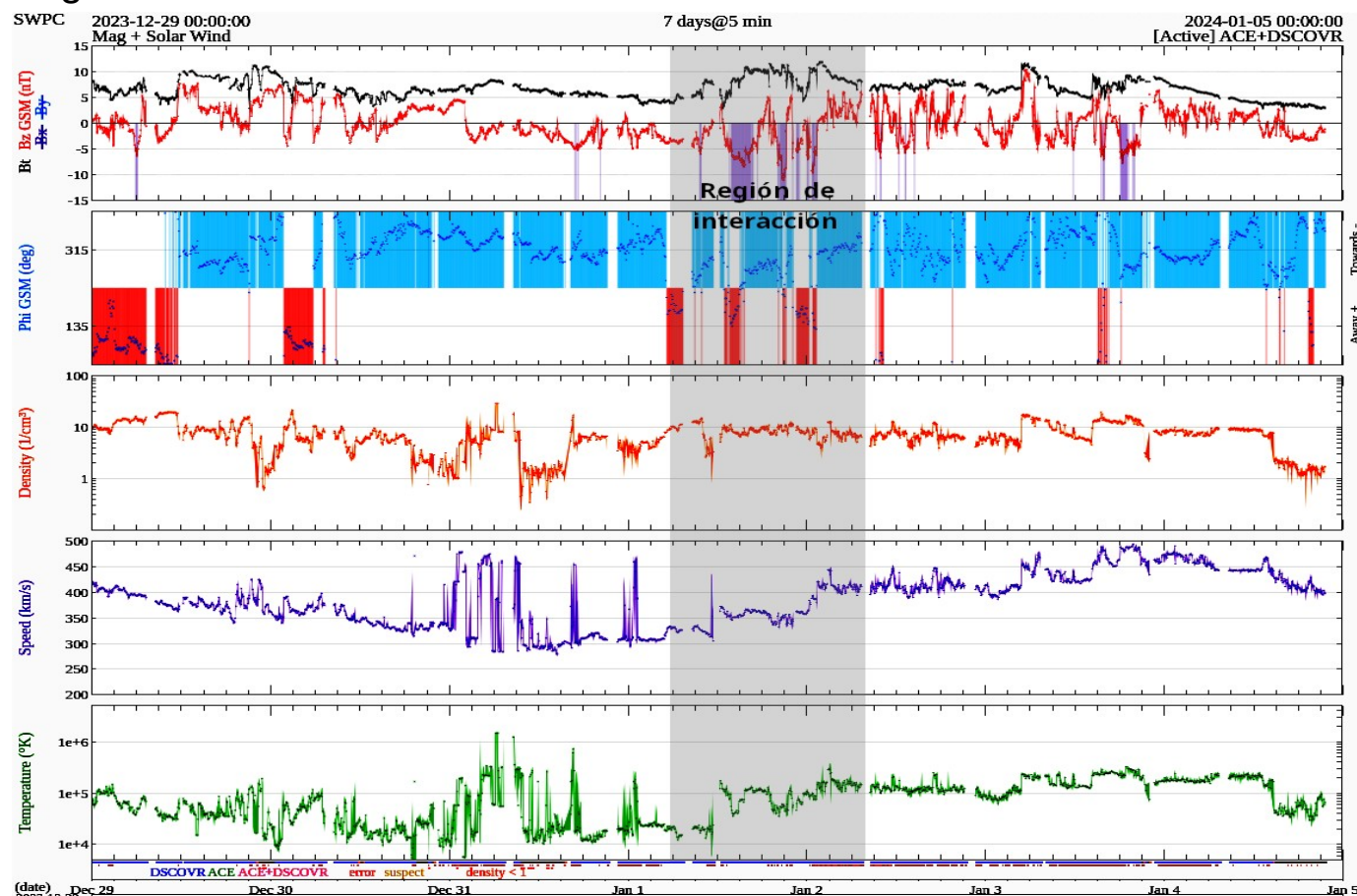


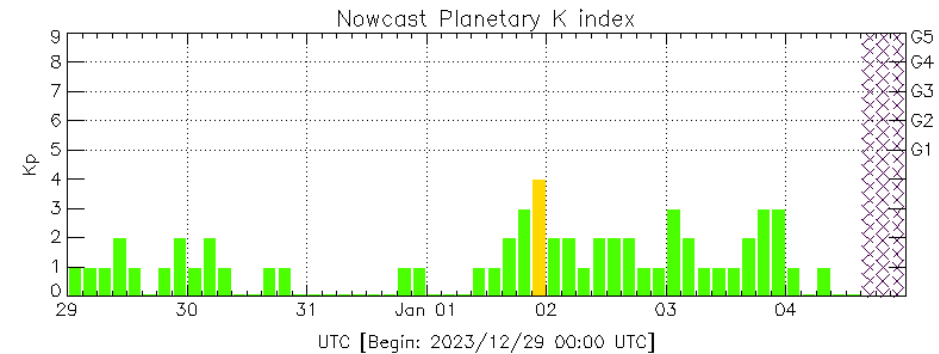
Imagen 2: <http://www.swpc.noaa.gov/products/real-time-solar-wind>

# Perturbaciones geomagnéticas: Índices geomagnéticos Kp y Kmex

Se registraron valores de perturbación geomagnética (K=4) en el índice Kp y de tormenta G1 (K=5) en el índice Kmex el 1 y 2 de enero. La actividad geomagnética fue provocada por corrientes de viento solar con componente magnética Bz sur intermitente que impactaron el ambiente terrestre el 1 de enero.

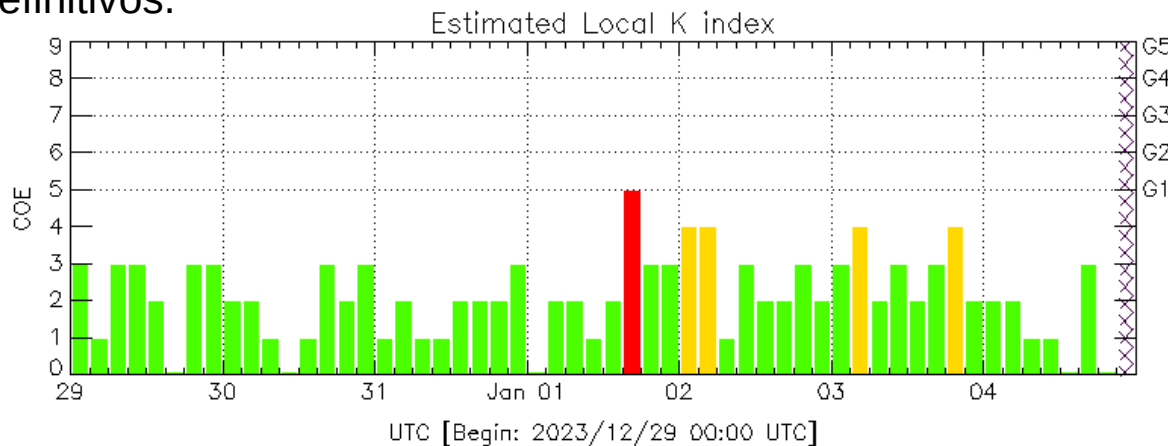
NOTA: El cálculo del índice Kmex se realiza por la estación geomagnética de Coeneo, Mich. Los datos son experimentales y no se deben de tomar como definitivos.

Datos: [www.gfz-potsdam.de/en/kp-index/](http://www.gfz-potsdam.de/en/kp-index/)



Kp: by GFZ German Research Center for Geosciences  
<https://www.gfz-potsdam.de/en/kp-index/>

Updated: 2024/01/04-13:59 UTC



COE: Coeneo Geomagnetic Station (LAT 19.81, LON -101.69)  
LANC/SCIESMEX - Morelia, Mich., MX

Updated: 2024/01/04-19:59 UTC

El índice K indica la intensidad de las variaciones del campo magnético terrestre en intervalos de 3 horas.

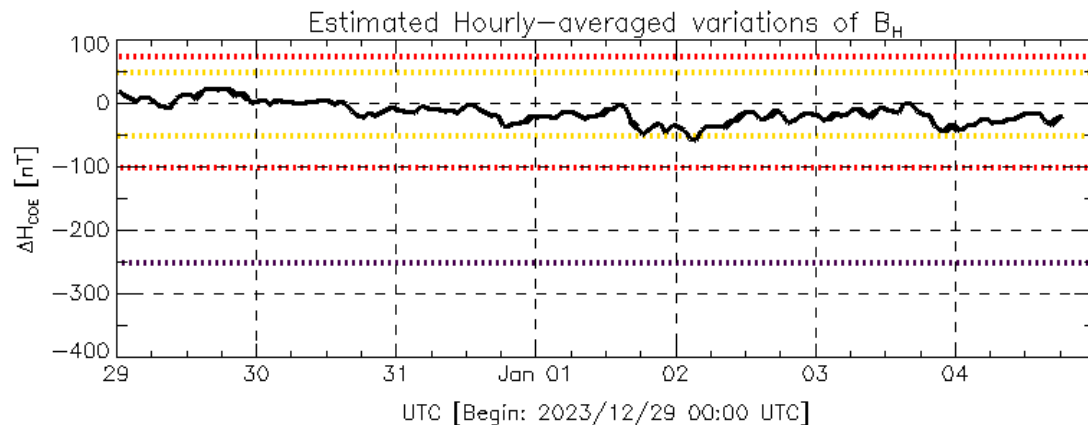
El índice Kp lo expresa a escala planetaria, mientras que el Kmex lo hace para el territorio mexicano.



# Perturbaciones geomagnéticas: Índice Dst y $\Delta H$

Se registró perturbación geomagnética local moderada en el índice  $\Delta H$  entre el 1 y 2 de enero. La actividad geomagnética fue provocada por corrientes de viento solar con componente magnética  $B_z$  sur intermitente que impactaron el ambiente terrestre el 1 de enero.

NOTA: El cálculo del índice  $\Delta H$  se realiza por la estación geomagnética de Coeneo, Mich. Los datos son experimentales y no se deben de tomar como definitivos.

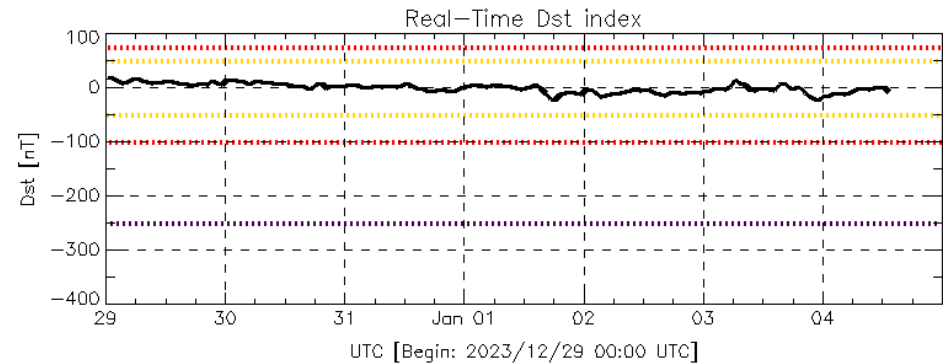


Color Code: weak, moderate, intense, extreme, data not available.

COE: Coeneo Geomagnetic Station (LAT 19.81, LON -101.69)  
LANC/SCIESMEX - Morelia, Mich., MX

Updated: 2024/01/04-19:59 UTC

Datos: [wdc.kugi.kyoto-u.ac.jp/dst\\_realtime/](http://wdc.kugi.kyoto-u.ac.jp/dst_realtime/)



Color Code: weak, moderate, intense, extreme, data not available.

Dst: by World Data Center for Geomagnetism, Kyoto  
[http://wdc.kugi.kyoto-u.ac.jp/dst\\_realtime/](http://wdc.kugi.kyoto-u.ac.jp/dst_realtime/)

Updated: 2024/01/04-13:59 UTC

Los índices Dst y  $\Delta H$  miden las variaciones temporales de la componente horizontal del campo geomagnético, el primero a escala planetaria y el segundo para México.

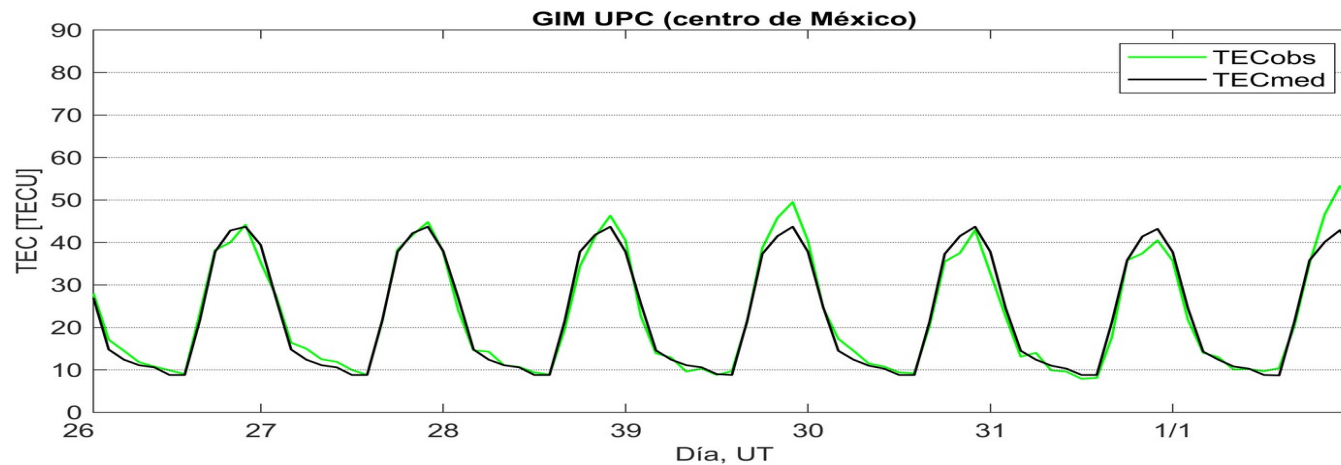
Estas variaciones, en general, se deben al ingreso de partículas cargadas, provenientes del espacio exterior, al ambiente espacial terrestre.

# Ionósfera sobre México: TEC en el centro del país

El contenido total de electrones (TEC) es un parámetro que sirve para caracterizar el estado de la ionosfera de la Tierra.

Series temporales de los valores de TEC (TECobs) con referencia a su valor mediano (TECmed) obtenidas de:

Mapas ionosféricos globales (GIM UPC)

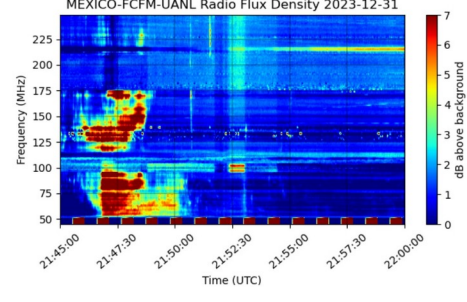
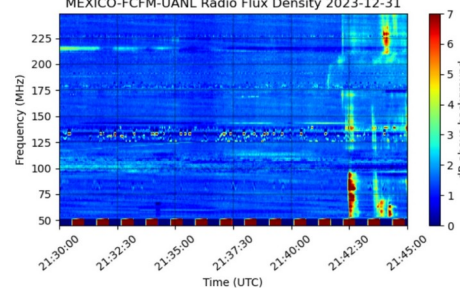
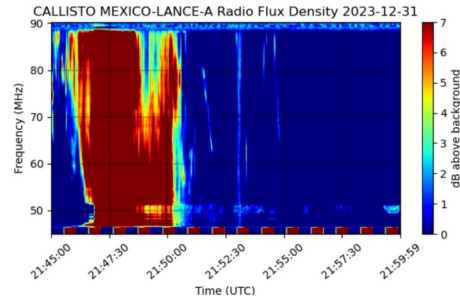
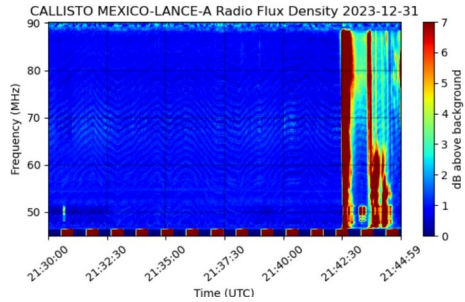
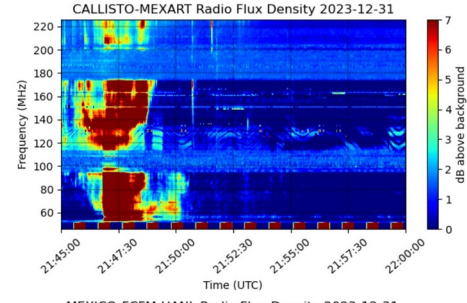
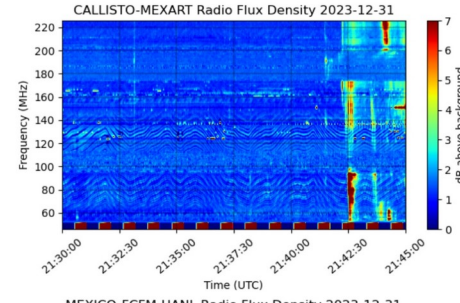
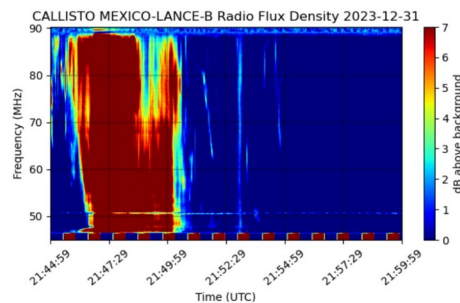
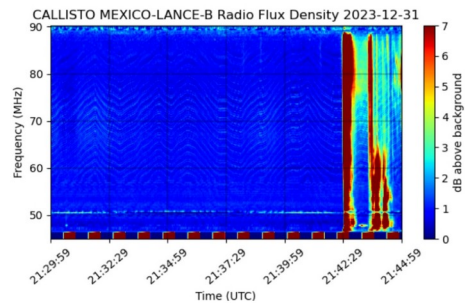


Se observó aumento del TEC el día 1 de enero.

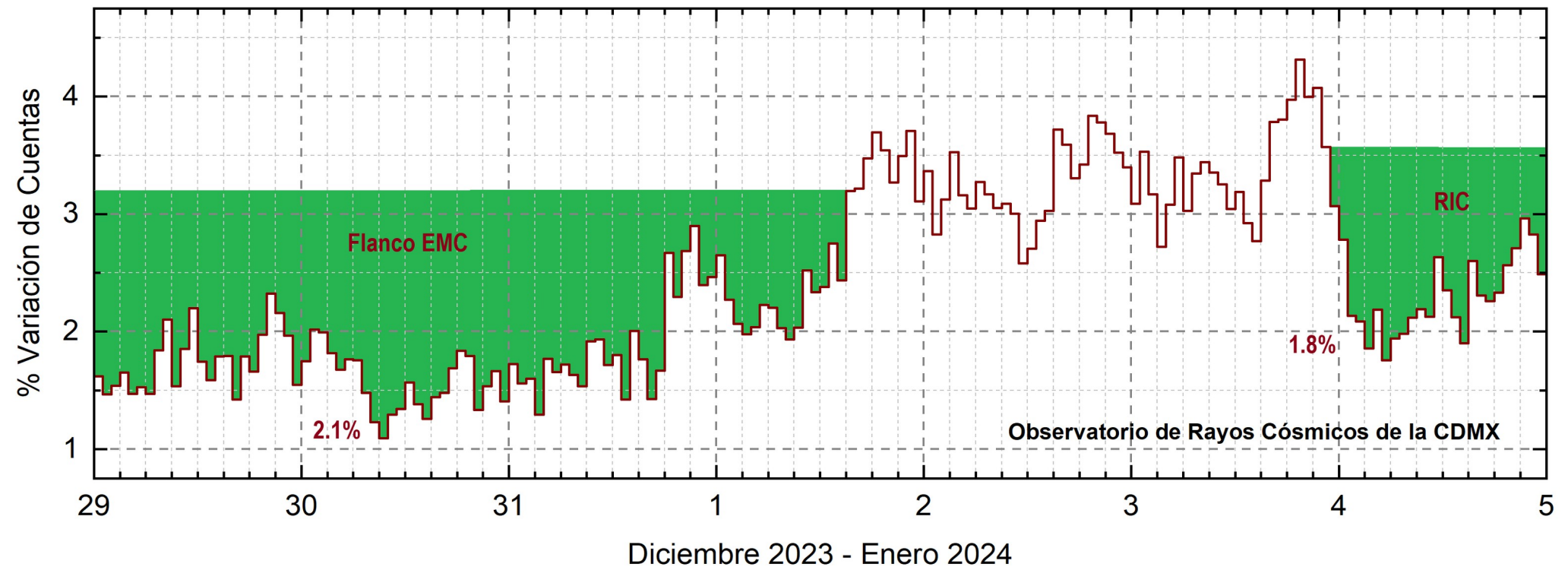


# Estallidos de radio solares: Observaciones de la REC-Mx

En esta semana la Red de Espectrómetros Callisto de México (REC-Mx) detectó 7 estallidos de radio Tipo III y uno Tipo V.



# Rayos Cósmicos:



<http://www.cosmicrays.unam.mx/>

Datos registrados por el Observatorio de Rayos Cósmicos de la Ciudad de México. Del 29 de diciembre de 2023 al 4 de enero de 2024 terminó el decrecimiento Forbush (dF) que inició el 27 a las 23 hrs TU y alcanzó 2.1%. El 3 de enero a las 23 hrs TU se presentó un nuevo dF debido a una RIC. El dF alcanzó el 1.8% de variación y, hasta las 00 hrs TU del 5 de enero, aún se registra la etapa de afectación y en proceso gradual de recuperación en las cuentas detectadas. El área coloreada en verde representa la caída en el flujo de rayos cósmicos en la CDMX.

## UNAM/LANCE/SCiESMEX

Dr. J. Américo González Esparza

Dr. Pedro Corona Romero

Dra. María Sergeeva

Dr. Julio C. Mejía Ambriz

Dr. Luis Xavier González Méndez

Ing. Ernesto Andrade Mascote

M.C. Pablo Villanueva Hernández

Dr. Ernesto Aguilar-Rodríguez

M.C. Carlos Isaac Castellanos Velazco

Dra. Verónica Ontiveros

Dra. Tania Oyuki Chang Martínez

Dr. Víctor José Gatica Acevedo

Dra. Ángela Melgarejo Morales

Isaac David Orrala Legorreta

## UNAM ENES-Morelia

Dr. Mario Rodríguez Martínez

Dr. José Juan González Avilés

M.C. Raúl Gutiérrez Zalapa

Ing. Ariana Varela Méndez

Mateo Peralta Mondragón

Jaquelin Mejía Orozco

Grace Diane Jiménez González

## UNAM/PCT

Dra. Elsa Sánchez García

Dr. Carlos Arturo Pérez Alanís

M.C. Isaac Castellanos Velasco

## UANL/LANCE

Dr. Eduardo Pérez Tijerina

Dra. Esmeralda Romero Hernández

Dr. José Enrique Pérez León

Ing. Iván Antonio Peralta Mendoza

Roel Aramis Olivera López

Fís. Rogelio Aguirre Gutiérrez

M.C. Adolfo Garza Salazar

## UNAM/IGF/RAYOS CÓSMICOS

Dr. José Francisco Valdés Galicia

Fís. Alejandro Hurtado Pizano

Ing. Octavio Musalem Clemente

## SERVICIO MAGNÉTICO

M.C. Esteban Hernández Quintero

M.C. Gerardo Cifuentes Nava

Dra. Ana Caccavari Garza

## GPCEET/SAET-IPN

Ing. Julio César Villagrán Orihuela

Miguel Daniel González Arias

Carlos Escamilla León

Pablo Romero Minchaca

Alfonso Iván Verduzco Torres

Claudia López Martínez

Ana María Ramírez Reyes

Emiliano Campos Castañeda

**Elaboración:** Julio César Mejía Ambriz

**Revisión:** Pedro Corona Romero

## Agradecimientos

El Laboratorio Nacional de Clima Espacial (LANCE) es parcialmente financiado por: el programa Cátedras CONACYT Proyecto 1045 y el Fondo Sectorial AEM-CONACYT proyecto 2014-01-247722. Agradecemos al proyecto Conacyt – Repositorio Institucional de Clima Espacial 268273. Agradecemos al proyecto AEM-2018-01-A3-S-63804 del Fondo Sectorial CONACYT-AEM. Agradecemos a todos los responsables y colaboradores de instrumentos del LANCE y a las redes de estaciones GPS del Servicio Sismológico Nacional y TlalocNET por facilitar sus datos. Agradecemos a Gerardo Cifuentes, Esteban Hernández y Ana Caccavari por los datos del Observatorio Magnético de Teoloyucan. De igual forma, agradecemos los servicios de IGS (International GNSS Service) por permitirnos usar los datos IONEX disponibles en: <https://cddis.nasa.gov/archive/gnss/products/ionex>. Los valores de TEC fueron obtenidos a partir de observaciones de las redes GPS del Servicio Sismológico Nacional (SSN), SSN-TLALOCNet y TLALOCNet del Servicio de Geodesia Satelital (SGS). Agradecemos al personal del SSN y del SGS por el mantenimiento de estaciones, la adquisición de datos y el soporte de IT de estas redes. Las operaciones de la red TLALOCNet y SSN-TLALOCNet GPS han sido apoyadas por The National Science Foundation bajo el proyecto EAR-1338091 a UNAVCO Inc., los proyectos CONACyT 253760 y 256012 y los proyectos UNAM-PAPIIT IN109315-3 y IN104818-3 de E. Cabral-Cano y el proyecto UNAM-PAPIIT IN111509 de R. Pérez. De igual forma, agradecemos a los proyectos de infraestructura del CONACyT: 253691 y del PAPIIT-DGAPA: IA107116 para el fortalecimiento de equipos como la estación fija de GPS, que forman parte del LACIGE-UNAM, de la ENES unidad Morelia a cargo de M. Rodríguez-Martínez, El cálculo de TEC se realiza: 1) utilizando el software US-TEC que es un producto de operación del Space Weather Prediction Center (SWPC), desarrollado a través de una colaboración entre National Geodetic Survey, National Oceanic and Atmospheric Administration (NOAA) y el Cooperative Institute for Research in Environmental Sciences of the University of Boulder, Colorado, 2) con base en el software TayAbsTEC del Instituto de Física Solar-Terrestre, sección Siberiana de la Academia de Ciencias Rusa. Parte del procesamiento de datos se lleva a cabo dentro del centro de Supercómputo de Clima Espacial (CESCOM) del LANCE. Así mismo agradecemos al Space Weather Forecasting Center for Astrophysics & Space Research de la University of California in San Diego y al Korean Space Weather Center por los datos de pronóstico para los modelos WSA-ENLIL y los mapas tomográficos por IPS. Agradecemos a la red e-callisto por los datos proporcionados de espectros electromagnéticos dinámicos de la red internacional de registro de eventos de radio solares.

## Datos

Imágenes de coronógrafo, flujo de rayos X y modelo WSA-ENLIL:

<http://www.swpc.noaa.gov/products>

<http://iswa.ccmc.gsfc.nasa.gov/IswaSystemWebApp/>

Imágenes de coronógrafo:

<http://sohowww.nascom.nasa.gov/data/>

Imágenes del disco solar y de la fulguración:

<http://www.solarmonitor.org/>

Detección y caracterización de EMCs:

<http://www.sidc.oma.be/cactus/out/latestCMEs.html>

<http://spaceweather.gmu.edu/seeds/>

ISES:

<http://www.spaceweather.org/>

International Network of Solar Radio Spectrometers (e-callisto):

<http://www.e-callisto.org/>

German Research Center For Geosciences Potsdam:

<http://www.gfz-potsdam.de/en/sektion/erdmagnetfeld/daten-dienst-e/kp-index/>

Data Analysis Center for Geomagnetism and Space Magnetism, Kyoto University:

<http://wdc.kugi.kyoto-u.ac.jp/index.html>

UNAVCO:

<http://www.unavco.org>

SSN:

<http://www.sismologico.unam.mx/>

SOHO Spacecraft NASA:

<http://sohowww.nascom.nasa.gov/>

SDO Spacecraft NASA:

<http://sdo.gsfc.nasa.gov/>

Space Weather Prediction Center NOAA:

<http://www.swpc.noaa.gov>

GOES Spacecraft NOAA:

<http://www.ngdc.noaa.gov/stp/satellite/goes/index.html>

ACE Spacecraft NOAA

<http://www.srl.caltech.edu/ACE/ASC/index.html>